

УДК 533.696.7

**Моделирование процессов обтекания затупленного тела с аэродинамическими надстройками в носовой части тела**

**Самохвалов М.А., студент**  
Россия, 105005, г. Москва, МГТУ им. Н.Э. Баумана,  
кафедра «Баллистика и аэrodинамика»

*Научный руководитель: Столярова Е.Г., д.т.н.*  
Россия, 105005, г. Москва, МГТУ им. Н.Э. Баумана  
[kafsm3@sm.bmstu.ru](mailto:kafsm3@sm.bmstu.ru)

Аэродинамические иглы и дисковые надстройки устанавливают в носовых частях затупленных летательных аппаратов, движущихся со сверхзвуковыми скоростями, для значительного снижения лобового сопротивления, а также для уменьшения тепловых потоков на обтекаемой поверхности.

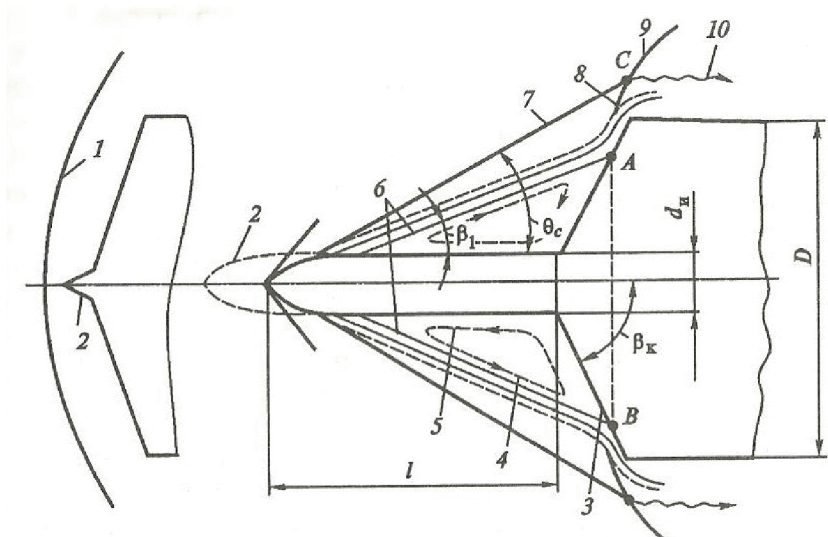


Рис.1. Структура течения при симметричном обтекании тела с иглой:

1 - криволинейный отошедший СУ, 2 - игла, 3 – затупленное тело, 4 – зона смешения, 5 – застойная зона, 6 – РЛТ, 7 – конический СУ, 8 – криволинейный СУ, 9 – СУ, 10 – линии тангенциального разрыва

При взаимодействии набегающего потока и затупленной обтекаемой поверхности возникает криволинейный скачок уплотнения. В свою очередь, при взаимодействии с иглой также возникает СУ, который, взаимодействуя с пограничным слоем на игле,

вызывает отрыв потока. Оторвавшийся пограничный слой взаимодействует с внешним течением и присоединяется к затупленной поверхности. В таком течении принято выделять Разделяющую Линию Тока (РЛТ), представляющую границу между внешним потоком и возвратным течением (жидким конусом), движущемся в обратном направлении. В зоне смешения образуется поверхность, близкая к конической, которая соприкасается с иглой в характерной точке отрыва S, а с затупленной поверхностью – в точке присоединения R. В точке присоединения сверхзвуковой поток поворачивается, вызывая еще один криволинейный скачок уплотнения.

При использовании иглы можно выделить 5 характерных структуры течения в зависимости от длины иглы и угла заострения конуса  $\beta_k$ .

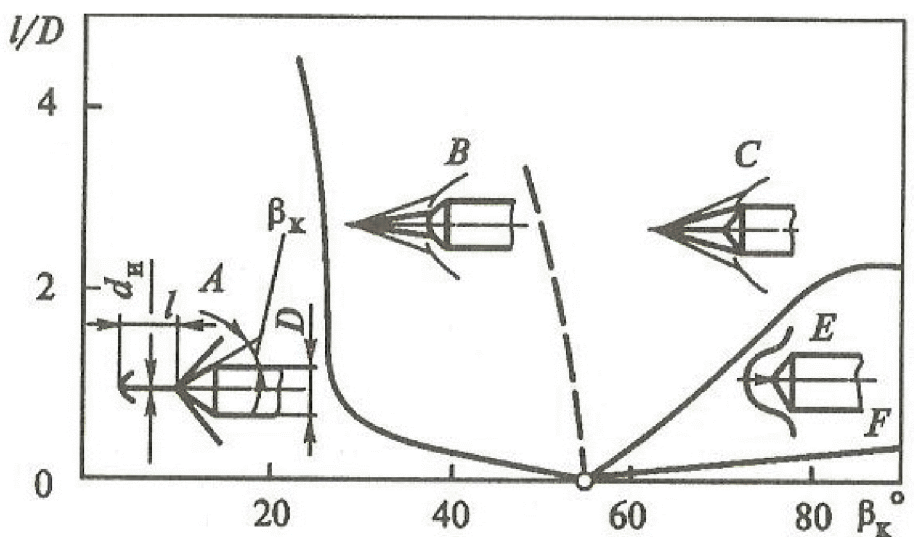


Рис. 2. Режимы обтекания цилиндрического тела с коническим носом и иглой: А – отрыва не происходит; В – отрыв с поверхности иглы, присоединение на конусе; С – граничный случай, присоединение в точке сопряжения конуса и цилиндра; Е – пульсационный режим; F – отошедший СУ, который не пробивается игрой

Сложность использования аэродинамических игл заключается в изменении положения точки отрыва S и возможности возникновения пульсационных режимов.

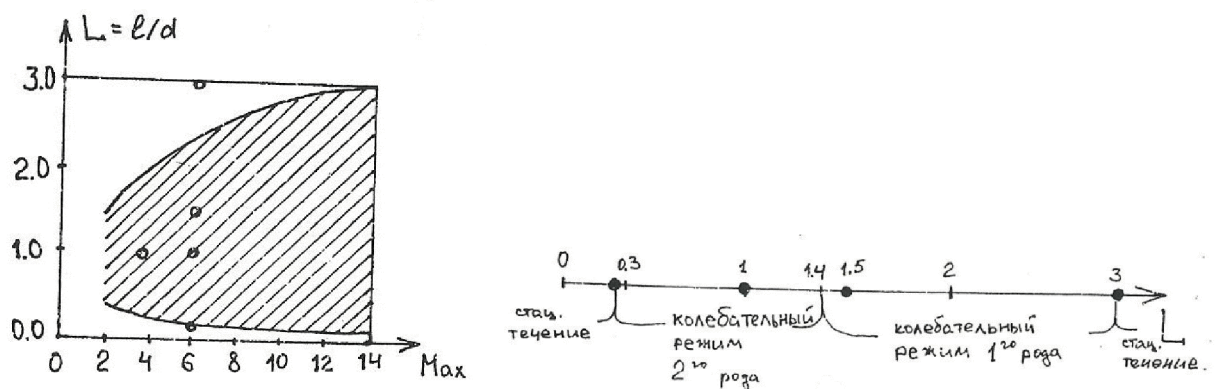


Рис. 3. Нестационарные режимы обтекания [2].

На рис.3 а заштрихованная область соответствует нестационарным режимам обтекания.

Существующие методы расчета затупленных тел с иглами основываются на экспериментальных данных. В настоящей работе была реализована методика расчета характеристик полусферического тела с иглой. Методика основана на методе РЛТ и критерии присоединения Корста и реализована на языке программирования C++.

Ниже приведены зависимости коэффициента лобового сопротивления Сха, полученные в эксперименте в работах [3] и полученные в расчете по методике.

Полученные результаты практически совпадают с экспериментальными данными, что позволяет в первом приближении использовать данную методику для исследования влияния иглы любой длины на сопротивление полусферического тела.

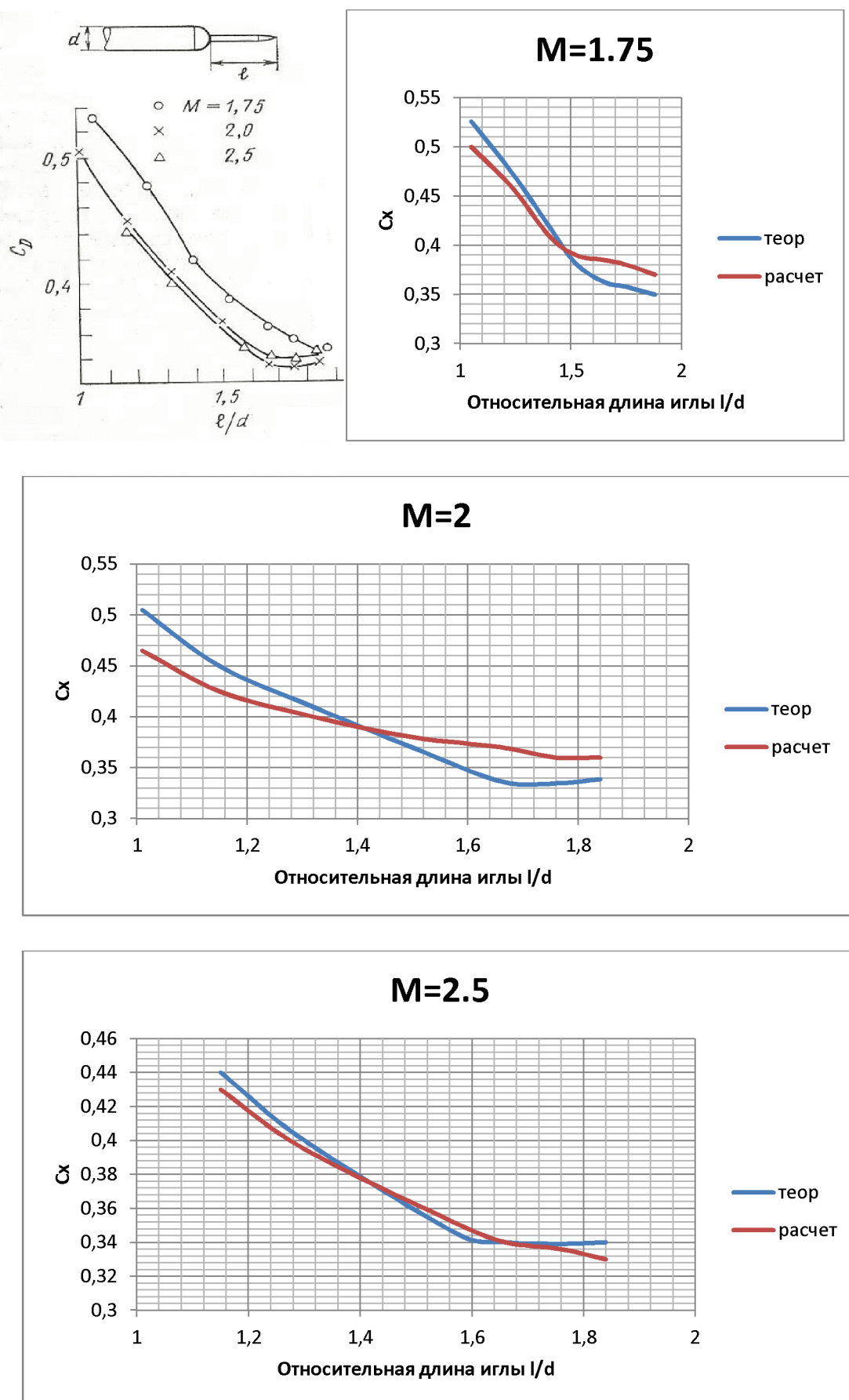


Рис. 4. Сопротивление тела с полусферической носовой частью и выступающей иглой

Было проведено параметрическое исследование характеристик тела в зависимости от длины иглы и параметров набегающего потока.

*Таблица 1*

Зависимость длины зоны отрыва от числа Маха набегающего потока

$M_\infty$	2	2.5	3	3.5
L отр, м	0.89	1.14	1.32	1.43

При  $L_{\text{иглы}} = 1.5$  м.

Как видно из таблицы, длина зоны отрыва значительно изменяется в зависимости от параметров набегающего потока, т.е. меняется активная часть иглы. Это наглядно демонстрирует перемещение точки отрыва потока  $S$ .

Для фиксирования точки отрыва на стержне используют дисковые надстройки в носовой части.

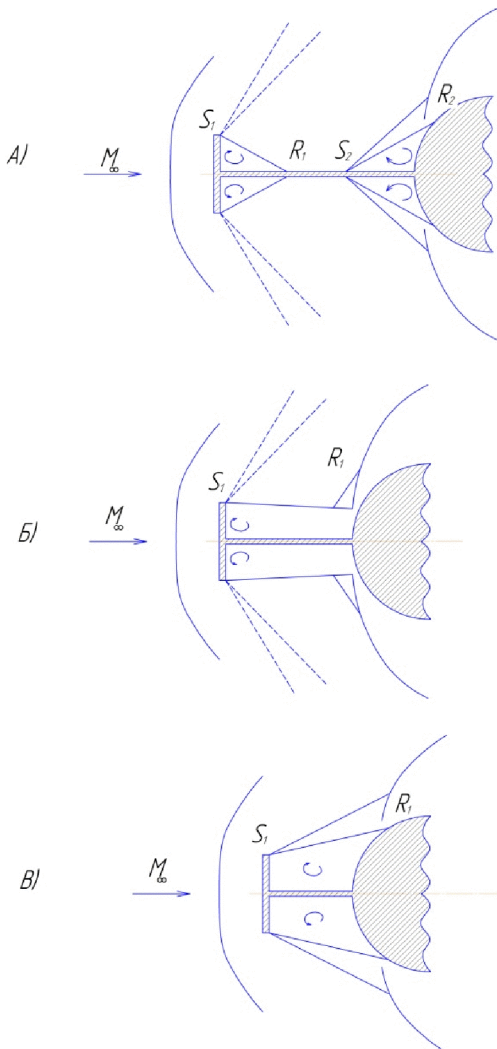


Рис. 5. Возможные структуры течения при использовании дисковых надстроек.

Структура обтекания тела с дисковой надстройкой определяется геометрическими параметрами стержня и диска, а также тела, и скоростью обтекания.

Если длина стержня достаточно большая, то имеем две отрывные зоны. Первая зона появляется при обтекании диска сверхзвуковым потоком, вторая – лобовой поверхности (структуре А). Сверхзвуковой поток действует на диск, в результате перед ним возникает головной СУ. В точке  $S_1$  поток отрывается, с образованием веера волн разряжения. Присоединение потока происходит в точке  $R_1$  на стержне. В этой точке возникает СУ, за которым направление потока параллельно стержню. При обтекании лобовой поверхности перед ней также возникает СУ, который, взаимодействуя с пограничным слоем на стержне, вызывает его отрыв ( $S_2 - R_2$ ). При такой структуре не проявляется эффект уменьшения лобового сопротивления системы, это связано с тем, что перед диском возникает СУ, близкий к прямому, а за диском – разрежение.

С уменьшением длины стержня структура обтекания тела трансформируется (структуре Б): две зоны отрывного течения объединяются в одну. Поток за т.  $S_1$  расширяется, с образованием зоны отрывного течения, однако присоединяется не на стержне, а на лобовом обтекателе, в результате чего повышенное давление за головным скачком передается в область отрыва, повышая в ней давление и меняя условия присоединения. Как правило, такой режим течения достаточно неустойчив, т.е. носит колебательный характер из-за нестабильности присоединения.

Структура В отвечает всем необходимым требованиям для рассматриваемого органа управления. Длина стержня такова, что поток, отрываясь в т.  $S_1$ , создает некоторое повышенное давление в области отрыва, по сравнению с давлением набегающего потока, но меньшее, чем за СУ на лобовой поверхности. Вместе с диском зона отрывного течения представляет собой усеченный конус, параметры на котором определяются длиной стержня и диаметром диска.

Было проведено исследование результатов расчетов по методике для структур А и В.

*Таблица 2*

Зависимость коэффициента лобового сопротивления от числа Маха набегающего потока  
для структур А и В

Структура А			Структура В		
$M_\infty$	$C_x$	$L \text{ отр, м}$	$M$	$C_x$	$P_{\text{дон}}/p_\infty$
2	0.62	2.05	2	0.31	1.0

2.5	1.05	2.63	2.5	0.42	1.14
3	1.35	2.62	3	0.49	1.16
3.5	1.58	2.63	3.5	0.52	2.15

где  $M$  – число Маха набегающего потока,  $L_{отр}$  – сумма длин отрывных зон за дисковой надстройкой и перед головной частью,  $P_{дон}/P_\infty$  - отношение давления в донной области к давлению набегающего потока.

### Для структуры В:

Таблица 3

Параметрическое исследование: зависимость коэффициента лобового сопротивления от относительного радиуса диска

Cx	r/R = 0.16	r/R = 0.33	r/R = 0.5	r/R = 0.8
M=2	0.38	0.30	0.32	0.48
M=2.5	0.49	0.41	0.42	0.58
M=3	0.55	0.48	0.49	0.64
V=3.5	0.58	0.51	0.52	0.67

Таблица 4

Параметрическое исследование: зависимость коэффициента лобового сопротивления от относительной длины иглы

Cx	l/R = 0.16	l/R = 0.33	l/R = 0.5	l/R = 0.8
M=2	0.41	0.35	0.32	0.30
M=2.5	0.52	0.47	0.43	0.39
M=3	0.57	0.52	0.49	0.45
V=3.5	0.61	0.56	0.52	0.48

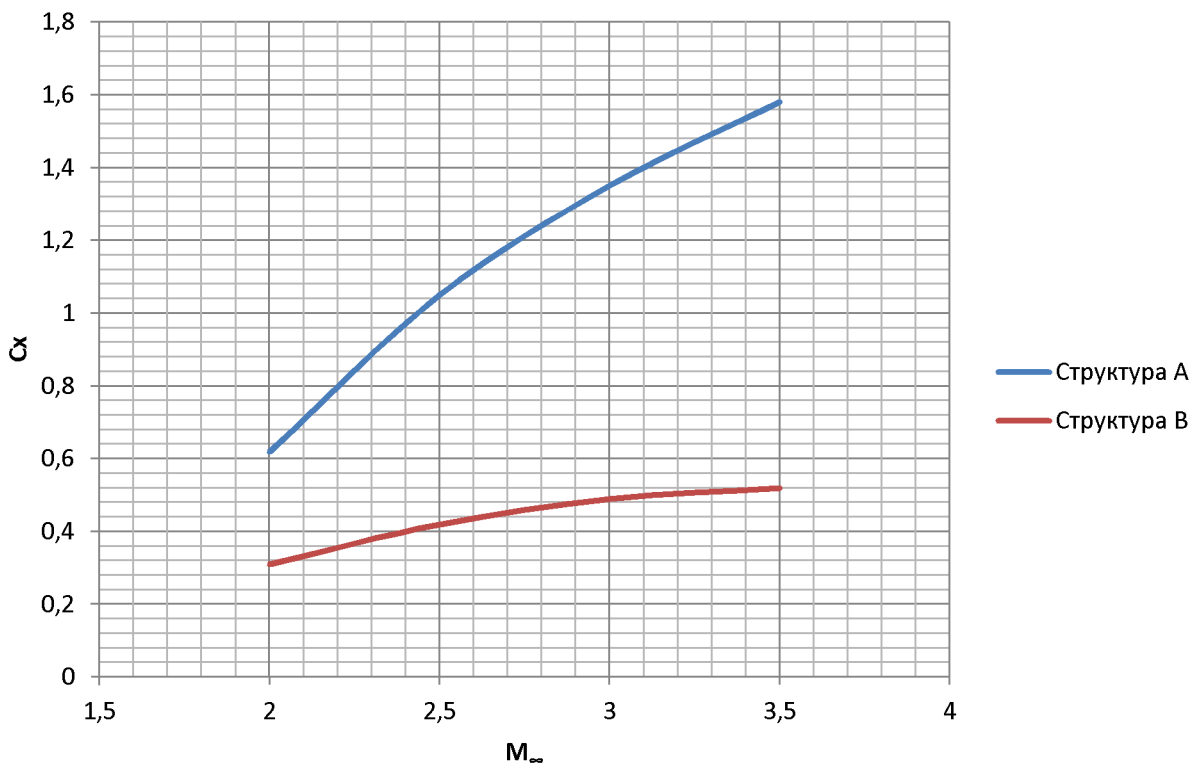
Сравним результаты расчетов для этих двух структур при одних и тех же параметрах:

$r = 0.3$  м – радиус диска;

$R = 0.6$  – радиус головного затупления;

$L = 3$  м – длина стержня для структуры А,  $L = 0.3$  м – длина стержня для структуры В.

## Сравнение значений коэф. лобового сопротивления



### Выводы

Автором была разработана методика расчета влияния игл и дисковых надстроек на характеристики полусферического тела и в данной статье приведены результаты расчетов, сравнение с экспериментальными данными и сравнение между собой.

Из результатов видно, что аэродинамические иглы являются эффективным органом управления характеристиками, но существуют определенные проблемы, связанные с их применением – наличие переходного режима и изменение точки отрыва. Чтобы фиксировать точку отрыва, используют дисковые надстройки, при которых также могут возникать колебательные режимы – по этой причине необходимо грамотно выбирать геометрические параметры диска и стержня.

Результаты расчета совпадают с экспериментальными данными, что показывает возможность использования численных методик для анализа структур течения и первоначального расчета аэродинамических характеристик.

### Список литературы

1. В.Т. Калугин. Аэрогазодинамика органов управления полетом летательных аппаратов. Москва: Издательство МГТУ им. Н.Э.Баумана, 2004.

2. П. Чжен. Управление отрывом потока. М: Издательство «Мир», 1979.
3. В.А. Черкашин. Сверхзвуковое обтекание тела с выступающей иглой. Препринт ИПМ АН СССР, 1981.
4. Забродин А.В., Черкашин В.А. Расчет сверхзвукового обтекания тела с выступающей иглой. Препринт ИПМ АН СССР, 1980.
5. Reduction of the Side Force on Pointed Forebodies Through Add-On Tip Devices, AIAA Journal 1992.